

Samandağ formasyonu'nun (Antakya Havzası) yaşı ve Molluska faunasına bağlı paleoekolojik özelliklerini *The age and palaeoecological properties of Samandağ formation (Antakya basin) based on molluscan fauna*

Kuddusi KARAKUŞ Ankara Üniversitesi, Fen Fakültesi, Jeoloji Mühendisliği Bölümü, Ankara
Güler TANER Ankara Üniversitesi, Fen Fakültesi, Jeoloji Mühendisliği Bölümü, Ankara

Öz

Bu çalışmaya, Antakya (Hatay)-Samandağ arasında geniş yüzekler sunan Samandağ formasyonu (Piyasensiyen)ının Molluska faunası özelliklerini kapsamaktadır. İnceleme alanında 5 adet ölçülü stratigrafî kesiti alınmış, bu kesitlerden derlenen örneklerden Molluska faunasına bağlı 46 cins ve 57 tür saptanmıştır. Bu famanın incelenmesiyle Samandağ formasyonunun Piyasensiyen (Üst Pliyosen) yaşında olduğu ve alt seviyelerinde denizel, üst seviyelerinde ise akarsu formalarını bulundurduğu tespit edilmiştir. Ayrıca, formasyonun alt seviyelerinden üst seviyelerine doğru ortamda bulunan suyun, normal deniz suyu karakterinden oligohaline acısu karakterine dönüştüğü ve bölgede Piyasensiyen döneminde subtropikal iklim şartlarının etkili olduğu saptanmıştır.

Abstract

This study comprises the properties of Samandağ Formation (Piacenzian) exposed in a wide area between Antakya and Samandağ (Hatay), based on its molluscan faunal content. In this frame 46 genus and 57 species have been determined in the samples, collected from five measured stratigraphic sections. It has been revealed that the age of the formation is Piacenzian (Upper Pliocene) according to the faunal associations which includes marine forms in the lower, and fluvial forms in the upper levels of the succession. This stand points to a change in the environmental conditions from normal marine to oligohaline, and faunal properties also suggest that the subtropical climatic conditions predominated in the region during the Piacenzian time.

GİRİŞ

Çalışma alanı, Türkiye'nin güneyinde Antakya ili ile Samandağ ilçesi arasında kahr. 1/25 000 ölçekli Mersin P35-c3, Antakya P36-d3, d4 pastalarının büyük bölümünü, Mersin P35-c2, Antakya P36-d2 pastalarının ise bir kısmını içerisinde alır (Şekil 1).

Antakya Havzası'nda jeolojik ve paleontolojik amaçlı pek çok çalışma yapılmıştır. Bunlardan Ernâl-Erentöz, 1958; Doruk, 1973; Çoğulu, 1973; Aktürk, 1975; Karacabey-Öztemür ve Selçuk, 1980-81; Selçuk ve diğ., 1985; Tekeli ve Erendil, 1986 ve Toker ve Yıldız, 1991 örnek olarak verilebilir.

Çalışma alanında Geç Pliyosen çökelleri ilk defa Selçuk ve diğ. (1985) tarafından Samandağ formasyonu olarak adlandırılmıştır. Samandağ formasyonu bölgede Üst Miyosen (Messiniyen) yaşı jipsleri açısal uyumsuzlukla örter. Birim genel olarak kumtaşı, kilitaş ve marn ardalanmasından oluşur. Bu çalışmada Geç Pliyosen çökelleri ayrıntılı olarak incelenmiş, zengin Molluska faunası içeren seviyeleri tespit edilerek Ziyaret Tepe Kesiti, Çiftlik Tepe Kesiti, Kirci Tepe Kesiti, Orta Tepe Kesiti ve Kuşalanı Kesiti olmak üzere 5 adet ölçülü stratigrafî kesiti alınmıştır (Şekil 2). Ölçülü stra-

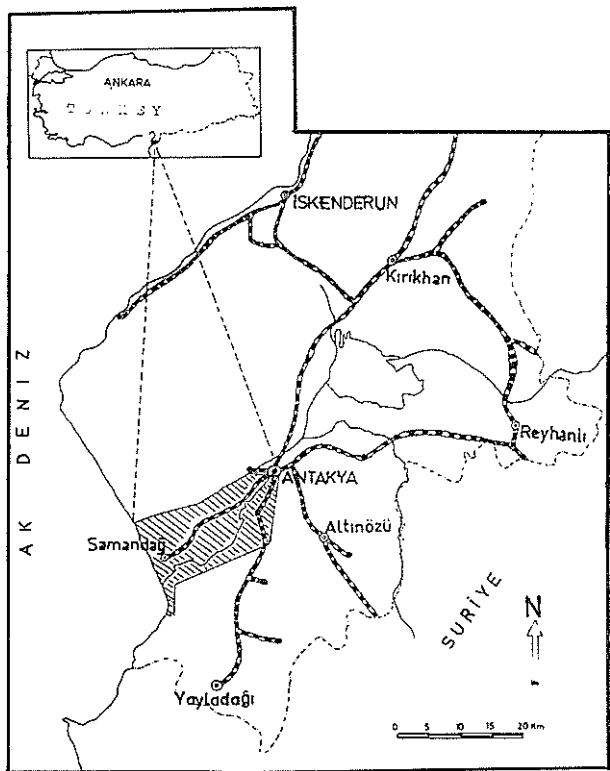
tigrafî kesitlerinden derlenen örneklerde Molluska faunasına bağlı olarak, Gastropoda sınıfına ait 22 cins ve 29 tür, Scaphopoda sınıfına ait 3 cins ve 4 tür Bivalvia sınıfına ait 21 cins ve 24 tür tespit edilmiştir.

Tespit edilen fosiller Moore (1964-69) ve Wenz (1938-44)'e göre adlandırılmış olsa, Levha 1-6'de gösterilmiştir. Ayrıca tespit edilen famanın Samandağ formasyonu içerisindeki yayılımı ile (Çizelge 1) Tetis bölgesindeki paleocoğrafsk ve Neojen alt sistemindeki stratigrafî yayılımı (Çizelge 3a, 3b) ortaya konmuştur.

STRATIGRAFİ

Samandağ Formasyonu

Samandağ formasyonu ilk defa Selçuk ve diğ. tarafından 1985 yılında adlandırılmıştır. Formasyon genel olarak kumtaşı, kilitaş ve marnlardan oluşmaktadır. Birim alt sınırında Messiniyen yaşı kabul edilen Vakıf formasyonuna ait jipsler üzerinde açısal uyumsuz olarak bulunur. Üstte ise kuvaterner yaşı serbest çakıllar ve travertenler tarafından yine uyumsuz olarak üzerlenir. Bu çalışmada 335 m görünür kalınlık ölçülmüştür. İnceleme alanında geniş bir yayılım gösteren birim, Samandağ ilçesi çevresinden başlayarak Antakya'ya kadar uzeyeler.



Sekil 1. Yer bulduru haritası.

Figure 1. Location map.

Ölçülü stratigrafi kesitleri

Birimin taban ve tavan sınırları her yerde tam olarak gözlenemediği için tabandan tavana doğru kesit almaya elverişli yerler olan; Ziyaret Tepe, Çiftlik Tepe, Kireci Tepe, Orta Tepe ve Kuşalanı Köyü doğusu olmak üzere toplam 5 lokalite belirlenmiş ve buralardan ölçüülü stratigrafi kesitleri alınmıştır. Kesitler en alta Mersin P35-c3 paftasında X1: 769925 m, Y1: 4000850 m, Z1: 140 m koordinatlarıyla Ziyaret Tepe Kesiti olarak başlamakta ve en üstte, Antakya P36-d4 paftasında; X2: 772500 m, Y2: 3998500 m, Z2: 165 m koordinatlarıyla Kuşalanı Kesiti olarak sona ermektedir (Şekil 2).

1. Ziyaret Tepe Kesiti

Kesit, Mersin P35-c3 paftasında X1: 769925 m, Y1: 4000850 m, Z1: 140 m koordinatlarıyla başlar ve güneydoğuya doğru X2: 770700 m, Y2: 4000900 m, Z2: 115 m koordinatlarıyla sona erer. Ziyaret Tepe kesitinin tabanı Ölçü Tepe güneyinde kumtaşları ile başlar (Şekil 3). Kesitin 0-30 metreleri arasında sarımsı kahverenginde, yer yer kumuzumsı, iyi boylanmış, gevşek çimentolu, belliğin tabaka formlu kumtaşları yer alır. Bu kumtaşları arasında ince seviyeler halinde krem renkli kilitaşı tabakaları bulunur. Daha sonra 30-125 m kalınlıkta yeşil-boz renkli, gevşek çimentolu, çok yü-

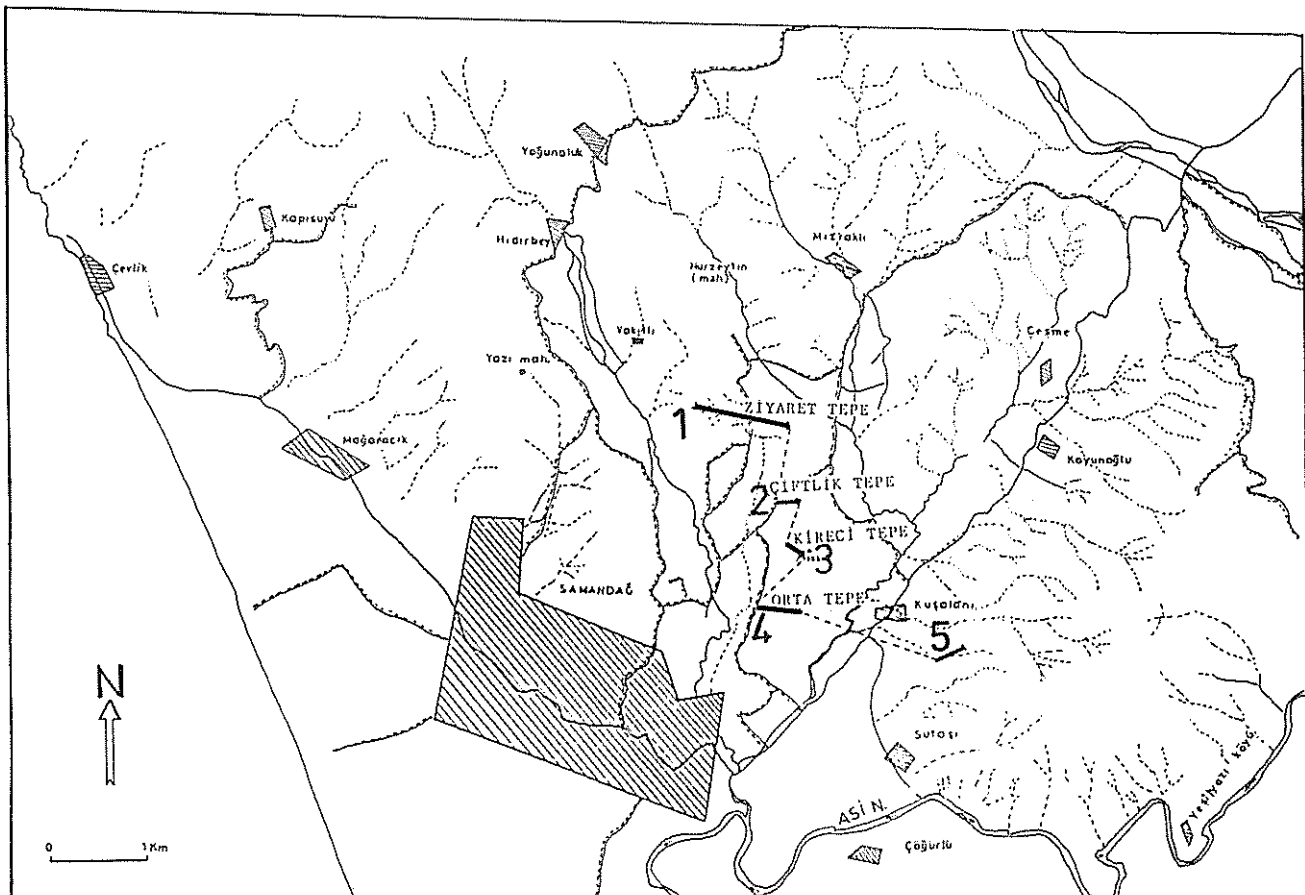
vatkak tanelerden oluşan ve yine killi kireçtaşları ve kilitaşı aratabakaları içeren bir kumtaşı seviyesi gelmektedir. Kilitaşlarının kalınlığı bazen 0.5 metreyi bulmaktadır. Bu kumtaşları K22D doğrultusunda ve 12 GD yönünde eğtilimlidir. Kesiti oluşturan birimlerde hiç bir Molluska faunası saptanamamıştır.

2. Çiftlik Tepe Kesiti

Çiftlik Tepe Kesiti Mersin P35-c3 paftasında X1: 769750 m, Y1: 3999950 m, Z1: 56 m koordinatları ile başlamakta ve doğuya doğru X2: 769950 m, Y2: 3999950 m, Z2: 95 m koordinatlarıyla biter. En alta Ziyaret Tepe'nin üst seviyelerinde gözlenen yeşil boz renkli kumtaşları bulunmaktadır. Bu kumtaşları, Ziyaret Tepe'nin üst seviyelerinde de gözlenmektedir (Şekil 3). Bu kumtaşları üzerine yeşilimsi renkli, killi kireçtaşları ve yine boz renkli kumtaşı-kilitaşı ardalanması gelmektedir. Çiftlik Tepe kesitinin toplam kalınlığı 70 m olup, Samandağ formasyonunun alttan itibaren 105-175 metrelerine karşılık gelmektedir. 145-150 metreler arasından alınan 11 no'lu (Şekil 3) örnek noktasında; *Anadara (Anadara) diluvii Lamarck* var. *Pertransversa Sacco*, *Turritella (Zaria) subangulata* (Brocchi), *Natica millepunctata* Lamarck, *Mitrella (Macrurella) nassoides* (Gretaloup), *Nassa cf. incrassata* (Müller), *N. (Amyclina) semistriata* Brocchi, *Turridula (Sucula) dimidiata* Brocchi, *Genimula (Unedogemmla) contigua* (Brocchi), *Conus (Chelyconus) pyrula* var. *mucronata* Erñal-Erentz, *C. (Conospirus) antediluvianus* var. *subgranulata* Sacco, *Ringicula (Ringiculina) buccinea* (Brocchi), *Dentalium (Dentalium) sexangulum* Schröter, *D. (Antalis) fossile* Schröter ve *Fusitaria cf. emersoni* Caprotti gibi Molluska faunası saptanmıştır. Daha üstte bulunan 150-155 metreler arasındaki kumtaşlarından alınan 12 no'lu (Şekil 3) örnek noktasında; *Anadara (A.) pectinata* (Brocchi), *Murex (Bolinus) brandis torularius* Lamarck, *Nassa cf. incrassata* (Müller), *Phos (Phos) polygonum* (Brocchi), *Vexillum (Uromitra) cypresinum* (Brocchi), *V. (U.) plicatula* (Brocchi), *Bathytonia (Bathytonia) cataphracta* Brocchi, *Gemmula (Gemmula) rotata* (Brocchi), *Dentalium (D.) sexangulum* Schröter ve *D. (A.) fossile* Schröter gibi örnekler tespit edilmiştir. Bu kumtaşları üzerinde 5 m kalınlığında krem renkli bir kilitaşı seviyesi yer alır. Bu kilitaşlarında Molluska faunası saptanamamıştır.

Fakat, kesitin 160-165 metrelerine karşılık gelen 13 no'lu örnek noktasındaki (Şekil 3) kumtaşları fosil bakımından çok zengin olup; *Amisium cristatum* (Bronn), *Anadara (A.) pectinata* (Brocchi), *A. (A.) diluvii* Lamarck var. *pertransversa* Sacco, *Lymnocardium gracile* var. *mediterranea* Erñal-Erentz, *Lucina (Lucina) orbicularis* Deshayes, *L. (Phacoides) michelotti* Mayer, *Tellina (Tellinella) distorta* Poli, *Venus (Veneri-*

SAMANDAĞ - FORMASYONU



Şekil 2. Ölçülü stratigrafi kesit yerlerini gösterir harita.

coloidea) multilamella (Lamarck), *Corbula (Varicorbulata) gibba* (Olivier), *Nuculana (Saccula) fragilis* (Chemnitz), *Yoldia (Yoldia) nitida* (Brocchii), *Nucula (Nucula) placentina* Lamarck, *Cuspidaria rostrata* spengeli, *Bittium (Bittium) reticulatum* (Da Costa), *Cerithium (Ptychocerithium) bronni* Pelsch., *C. (Thericium) crenatum* var. *subcrenato-coronata* Sacco, *Nassa continua* Bellardi, *Turridula (Surcula) dinidiata* Brocchii, *Strioterebrum (Strioterebrum) pliocenicum* Fontannes, *Terebra acuminata* Borson var. *pergranularis* Sacco, *Entalina tetragona* (Brocchii) gibi fosiller saptanmıştır.

Çiftlik Tepe kesitinin en üst seviyelerinde bulunan 170-175 metreler arasındaki kilittaşlarından alınan 14 no'lu (Şekil 3) örnek noktasında; *Chama (Chama) placenta* (Defrance), *C. (C.) gryphoides* Linne, *Timoclea (Timoclea) ovata* (Pennant), *Yoldia (Yoldia) nitida* (Brocchii), *Cerithium (T) varicosum* (Brocchii), *Natica millepunctata* Lamarck, *Neverita josephinia* Rissö, *Ringicula (Ringiculina) buccinea* (Brocchii) gibi pelesipod ve gastropod fosilleri saptanmıştır. Bu kilittaşları üzerinde bulunan çok ince bir kumtaşı seviyesiyle Çiftlik Tepe kesiti sona erer.

Figure 2. Locations of the measured stratigraphic sections.

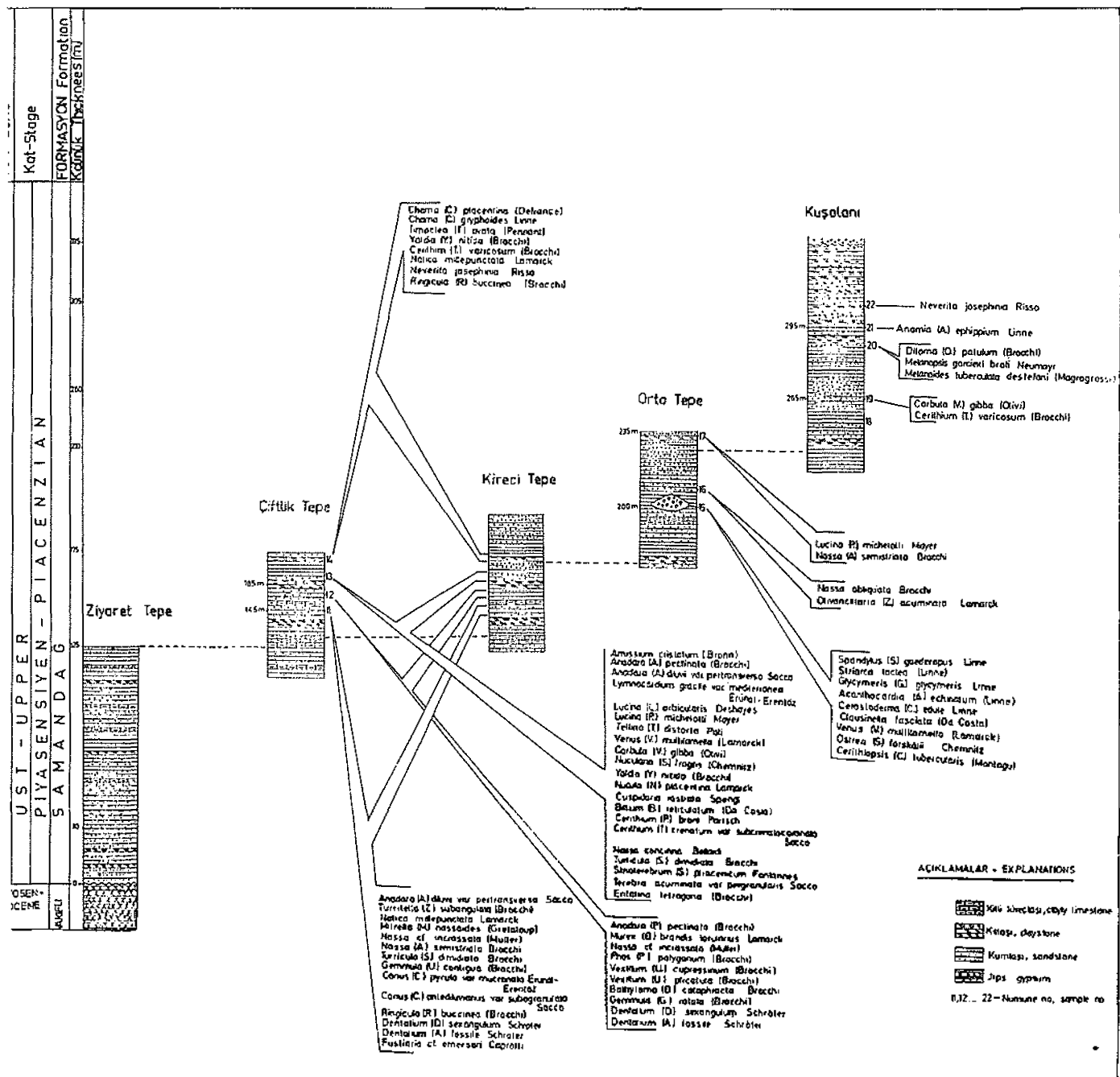
3. Kırıcı Tepe Kesiti

Kesit, Mersin P35-c3 paftasında X1: 770000 m, Y1: 3999550 m, Z1: 60 m koordinatlarıyla başlar ve güneydoğu yönünde Antakya P36-d4 paftasında X2: 770050 m, Y2: 3999470 m ve Z2: 128 m koordinatları ile sona erer. Çiftlik Tepe'nin güneyinde bulunan Kırıcı Tepe'de de çok bol Molluska faunası saptanmıştır. Kırıcı Tepe'den almış olduğumuz ölçülü stratigrafi kesiti Samandağ formasyonunun alttan itibaren 123-195 metrelerine karşılık gelmektedir (Şekil 3). Bu kesitte saptanmış fauna Çiftlik Tepe'de saptadığımız fauna ile aynıdır.

Kırıcı Tepe kesitinin üst seviyelerinde, kesitin 175-180 metreleri arası (Şekil 3) yeşil-boz renkli, gevşek çimentolu, iyi boylanmış ve belirgin tabakalanma gösteren kumtaşları bulunmaktadır. Bu kumtaşları içerisinde Molluska faunası saptanamamıştır.

4. Orta Tepe Kesiti

Orta Tepe kesiti Mersin P 35-c3 paftasında X1: 769675 m, Y1: 3998875 m, Z1: 47 m koordinatları ile başlar ve güneydoğuya doğru X2: 770000 m,



Sekil 3. Samandağ Formasyonuna ait ölçülu stratigrafi kesitleri

Figure 3. Measured stratigraphic sections of the Samandağ formation.

SAMANDAĞ - FORMASYONU

PLIOSEN - PLIOCENE	SERİ - SERIE
ÜST - UPPER	KAT - Stage
P PIYASENİYEN - PIACENZIAN	FORMASYON - Formation
S A M A N D A G	KALINLIK - Thickness (m)
T A S A T E R E S İ	LİTOLOJİ - Lithology
F O S I L L E R	FOSİLLER - FOSSILS
—	Dibina (O) patulum (Brocchi)
—	Bisium (B) reticulatum (Da Costa)
—	Cerithium (P) broni Pariot
—	Cerithium (P) crenatum var subangustum Spec.
—	Cerithium (P) varicosum (Bronni)
—	Centriopis (C) tuberculata Montagu
—	Melanoides gastereshi berti Neumayr
—	Melanoides tuberculata destellans (Müller)
—	Turritella (Z) subangulata Brocchi
—	Natica maiopunctata Lamarck
—	Neverita josephina Rissi
—	Murex (M) brandti torularius Lamarck
—	Murella (M) nossoides (Gmelin)
—	Nassa coecina Bellard
—	Nassa obliquata Brocchi
—	Nassa cf. incassata Müller
—	Amygdina semistriata (Brocchi)
—	Phos (P) polygonum (Brocchi)
—	Olivancularia (A) acuminata Lamarck
—	Vexillum (V) cupressinum (Brocchi)
—	Vexillum (V) plicatum (Brocchi)
—	Bathyfoma (B) compacta (Brocchi)
—	Gemmula (G) rotata (Brocchi)
—	Gemmula (G) contigua (Brocchi)
—	Corus (C) pyrula var. mucronata Fitch - Menetries
—	Corus (C) concolorius var. subgranulatus (Sowerby)
—	Spiriferarium (S) placenatum Fontanieri
—	Terebra acuminata var. perigranulata (Lamarck)
—	Ringtonia (Ringia) undulata Brocchi
—	Dentalium (D) strobilatum Schröter
—	Dentalium (Antalis) lissatum Schröter
—	Fusitaria cf. emarginata Caprotti
—	Entalina tetragona (Brocchi)
—	Cuspidaria rostrata Sprengel
—	Nucula (S.) fragilis (Chemnitz)
—	Yoldia (Y.) nullida (Brocchi)
—	Nucula (N) placentina Lamarck
—	Spirula lactea (Linne)
—	Anadara (A) pectinata (Brocchi)
—	Anadara (A) daivii var. petrotransversa Socco
—	Glycymeris (G) glycymeris Linne
—	Spandylus (S) gaederopus Linne
—	Ammissum cristatum (Bronni)
—	Anomia cf. ephippium Linne
—	Ostrea (S) (exsiccata) Chemnitz
—	Acanthocardia (A) echinatum (Linne)
—	Lymnaeum granosum var. mediterraneum Erkorek - Erenler
—	Cerastoderma (C) edule Linne
—	Chama (C) pacentina (D'Orbigny)
—	Chama (C) gryphoides Linne
—	Lucina (L.) orbicularis Deshayes
—	Lucina (L.) michelotti Mayeri
—	Tellina (Tellina) distorta Poli
—	Clausiella fasciata (Da Costa)
—	Venera (Veneridae) malacumata Lamarck
—	Ulmoclea (U.) ovata (Pennant)
—	Corbicula (Corbiculidae) gibba Oliv

Çizelge 1. Samandağ formasyonuna ait fosillerin dikey yayılımı

Table 1. Vertical distribution of the fossils of Samandağ formation.

Y2:3998850 m ve Z2:100 m koordinatları ile biter. Bu kesitte ölçülen toplam kalınlık 72 m dir. Bu kalınlık Samandağ formasyonunun alttan itibaren 168-240 metrelerini oluşturur. En alta yesil-boz renkli kumtaşı aratabakaları bulunan 5 m kalınlığında krem renkli kilaşları ile başlar, bu kilaşları Çiftlik Tepe'nin en üst seviyesindeki 14 no'lü örnek noktasına ve Kireci Tepe'nin en üst seviyelerindeki kilaşlarına karşılık gelmektedir (Şekil 3). Ancak burada diğer kesitlerdeki tüm fosiller olmamakla beraber; *Natica millepunctata* Lamarck, *Neverita josephinia* Risso ve *Ringicula (Ringiculina) buccinea* (Brocchi) örnekleriyle Korele edilebilir.

Kilaşları üzerinde yeşil-boz renkli olan ve yine Kireci Tepe'nin üst seviyelerine karşılık gelen kumtaşları yer alır. Bu kumtaşları üzerinde yaklaşık 5 m kalınlığında killi kireçtaşı bulunur. Orta Tepe'nin batısında kesitin 195-205 metreleri arasında bir çakıltası merceği yer almaktadır. Bu merceğin yanal devamlı 30 metredir. Çakıltısının çakılları bir kaç cm ve dm kadardır. Bu çakıltası merceği üzerinde kahvemsi sarı renkte, ince-orta tabaklı, gevşek çimentolu kumtaşları bulunur. Bu kumtaşları içerisinde 15 no'lü örnek noktasında (Şekil 3) görüldüğü gibi; *Spondylus (S.) gaederopus* Linne, *Striarca lactea* (Linne), *Glycymeris (Glycymeris) glycymeris* Linne, *Acanthocardia (Acanthocardia) echinatum* (Linne), *Cerastoderma (Cerastoderma) edule* Linne, *Clausinella fasciata* (Da Costa), *Venus (Ventricoloidea) multilamella* (Lamarck), *Ostrea (Saccoostrea) forskalii* Chemnitz, *Cerithiopsis (Cerithiopsis) tuberculatus* (Montagu) gibi gastropod ve pelesipod örnekleri saptanmıştır. Samandağ formasyonunun alttan itibaren 208-210 metrelerine karşılık gelen Orta Tepe'deki 16 no'lü örnek noktasında (Şekil 10) bulunan kumtaşları içerisinde; *Nassa obliquata* Brocchi, *Olivancillaria (Agaronia) acuminata* Lamarck saptanmıştır. Orta Tepe'nin en üstünde 230-235 metrelerinde 17 no'lü örnek noktasında (Şekil 3) bulunan kilaşlarında ise; *Lucina (Phacoides) michelotti* Mayer ve *Nassa (A. semistrata* Brocchi örnekleri saptanmıştır. Orta Tepe'den alınan kesit bu seviye ile sona erer.

5. Kuşalanı Kesiti

Bu kesit, Antalya P 36-d4 paftasında X1:771200 m, Y1:3998375 m, Z1:60 m koordinatları ile başlar, kuzeydoğu yönünde X2:771525 m, Y2:3998500 m ve Z2:165 m koordinatları ile sona erer. Kuşalanı kesiti, Kuşalanı Köyü doğusunda alta sarımsı kahve renkli, gevşek çimentolu, dağılgan kumtaşları ile başlamaktadır. Burada ölçülen toplam kalınlık 120 m dir. Bu seviye Samandağ formasyonunun alttan itibaren 215-335 metrelerine karşılık gelmektedir.

Samandağ formasyonunun alttan 260-265 metrelerine karşılık gelen 19 no'lü (Şekil 3) örnek noktasında; *Corbula (Varicorbula) gibba* (Olivii), *Cerithium (T.) varicosum* (Brocchi) gibi örnekler saptanırken, daha üst seviyelerinde 20 no'lü örnek noktasında; *Diloma (Oxystele) patulum* (Brocchi), *Melanopsis gorciexi broti* Neumayr ve *Melanoides tuberculata destefanii* (Maggrassi) gibi gastropod türleri saptanmıştır (Şekil 3). 21 no'lü örnek noktasında yer alan ve Samandağ formasyonun alttan 290-295 metrelerine karşılık gelen kumtaşlarında; *Anomia (Anomia) ephippium* Linne tespit edilmiştir. Samandağ formasyonunun belirlenen en üst fosilli düzeyi olan ve alttan itibaren 300-305 metrelerine karşılık gelen 22 no'lü örnek noktasındaki kilaşlarında; *Neverita josephinia* Risso bulunur. Kesit burada sarımsı-kahvemsi renkli kumtaşları ile ardalamalı olarak yer alan çok ince yeşilimsi krem renkli kilaş tabakaları ile son bulur.

Jeolojik Yaş

Samandağ formasyonu çok bol Molluska faunası içermekte ve faunanın çoğuluğu Neojen sistemi içerisinde yayılmış göstermektedir. Bazı örneklerin ise sadece Pliyosen'de yaşadığı bilinmektedir (Çizelge 2 ve 3). Aneak; *Cerithium (T.) varicosum* Brocchi, *Nassa (Amyclina) semistriata* (Brocchi), *Gemmula (Gemmula) rotata* (Brocchi), *Conus (Conspirus) antediuvinanus* var. *subgranulata* Sacco, *Fustaria* cf. *emersoni* Caprotti, *Entalina tetragona* (Brocchi), *Yoldia (Yoldia) nitida* (Brocchi), *Striarca lactea* (Linne), *Glycymeris (G.) glycymeris* Linne, *Spondylus (S.) gaederopus* Linne, *Ostrea forskalii* Chemnitz, *Melanopsis gorciexi broti* Neumayr, *Melanoides tuberculata destefanii* (Maggrassi), *Cuspidaria rostrata* Spengel gibi fosiller Portekiz, Güney Fransa, İtalya, Ege Adaları, Kıbrıs, Kuzey Afrika'da Fas ve Mısır gibi ülkelerde Üst Pliyosen'i karakterize eden tiplerdir. Bu fosiller Samandağ formasyonda da çok bol ve iyi korunmuş olarak saptanmış durumdadır. Bu faunaya dayanarak formasyonun Piyasansiyen yaşında olması gerekmektedir.

PALEOEKOLOJİK YORUM

Samandağ formasyonunun ortalısal yorumunda Remane'nin tuzluluk sınıflaması (Papp 1959'dan) kullanılmıştır.

Samandağ formasyonunda saptanın Molluska faunasının tamamı Tetis bölgesine özgü cins ve türler olup (Çizelge 2), Samandağ formasyonunun Tetis provensine bağlı olarak gelişliğini göstermektedir. Ayrıca Samandağ formasyonunda bulunan *Acanthocardia (Acanthocardia) echinatum* Linne Miyosen'de Atlantik Okyanusu'nda, Pliyosen'de ise Tetis'de görülmektedir.

SAMANDAĞ - FORMASYONU

TETIS - TETHYS				FOSİLLER - FOSSILS	
MIYOSEN-MIOCENE		PLİYOSEN - PLIOCENE			
ALT - Lower	ORTA - Middle	ÜST - Upper	ALT - Lower	ÜST - Upper	
.	.	+	+	+	Dolma (D) pallidum (Brocchi)
.	+	+	+	+	Githium (G) reticulatum (de Costa)
.	+	+	.	+	Cerithium (C) brasi Pariot
.	.	.	.	+	Cerithium (C) cretaceum var subangustatum
.	.	.	+	+	Cerithium (C) varicosum (Bianchi)
.	.	.	+	+	Cerithopagia (C) tuberculata Moreau
.	.	.	.	+	Melanopsis grisea (M. Neumayr)
+	+	+	+	+	Melanoides tuberculata destefani (Magograssi)
+	+	+	+	+	Turritella (T) subtrigonata Brocchi
+	+	+	+	+	Natica (N) impunctata Lamarck
.	+	+	+	+	Neverita (N) josephina Riss
+	.	+	+	+	Murex (M) brandti (Lamarck)
+	+	+	.	+	Murella (M) noassoides (Gmelin)
•	•	.	.	+	Nassa (N) canaliculata Bellardi
•	•	+	+	+	Nassa obliquata Brocchi
•	•	+	+	+	Nassa cf. incassata (Müller)
•	•	+	+	+	Amygdalia semistriata (Brocchi)
•	•	•	+	+	Phos (P) polygonum (Brocchi)
•	•	•	+	+	Olivancularia (O) acuminata Lamarck
•	•	•	+	+	Voluta (V) cupressinum (Brocchi)
•	•	•	+	+	Voluta (V) plicatula (Brocchi)
•	•	•	+	+	Bathyoma (B) cerasiforme (Brocchi)
•	•	•	•	+	Gemmula (G) rotula (Brocchi)
•	•	•	•	+	Gemmula (G) contigua (Brocchi)
•	•	•	•	+	Corsa (C) pyrum var. pectinatum (Brocchi)
•	•	•	•	+	Corsa (C) pectinatum var. subangustatum (Brocchi)
•	•	•	•	+	Strioterebrum (S) pectinatum (Fornasini)
•	•	•	•	+	Retzia (R) eximia (Brocchi)
•	•	•	•	+	Rugula (R) virginianum (Brocchi)
•	•	•	•	+	Dentalium (D) sericeum (Schröter)
•	•	•	•	+	Dentalium (D) fossile Schröter
•	•	•	•	+	Fusus (F) murex (Cipolla)
•	•	•	•	+	Euthynia (E) tetragona (Brocchi)
•	•	•	•	+	Cuspispira (C) rostrata (Spengler)
•	•	•	•	+	Nucula (N) fragilis (Chemnitz)
•	•	•	•	+	Yoldia (Y) nuda (Brocchi)
•	•	•	•	+	Nucula (N) placenta (Lamarck)
•	•	•	•	+	Siatica (S) lactea (Linnaeus)
•	•	•	•	+	Anadara (A) pectinata (Brocchi)
•	•	•	•	+	Anadara (A) var. var. pertransversa (Sacco)
•	•	•	•	+	Ostryomya (O) gryphema Linnaeus
•	•	•	•	+	Spondylus (S) gaderopus Linnaeus
•	•	•	•	+	Ammisoma cristatum (Bianchi)
•	•	•	•	+	Anomia (A) ephippium Linnaeus
•	•	•	•	+	Ostrea (O) forskalii Chemnitz
•	•	•	•	+	Acanthocardia (A) echinatum (Linnaeus)
•	•	•	•	+	Lymnaea (L) glabra var. concolor (Fischer & Credz)
•	•	•	•	+	Cerastoderma (C) edule Linnaeus
•	•	•	•	+	Chama (C) gracilis (Bianchi)
•	•	•	•	+	Chama (C) gibbereoides (Linnaeus)
•	•	•	•	+	Lucina (L) orbicularis Deshayes
•	•	•	•	+	Lucina (L) maclellana (Moyet)
•	•	•	•	+	Tegula (T) pullata (Lamarck)
•	•	•	•	+	Tegula (T) pullata distorta Poli
•	•	•	•	+	Clausinella fasciata (de Costa)
•	•	•	•	+	Natica (N) ovata (Pennant)
•	•	•	•	+	Corbicula (C) fluminea (Gmelin)

Çizelge 2. Samandağ formasyonundan derlenen fosillerin Tetis provensi içerisindeki kronostratigrafik yayılımları.

Table 2. Chronostratigraphic distributions of the fossils of Samandağ Formation in Tethyan region.

Samandağ formasyonunun en alt fosilli düzeyi olan ve boz renkli kumtaşları içerisinde bulunan; *Conus (Conospirus) antediluvianus* Lamarck var. *subgranulata* Sacco, *Natica millepunctata* Lamarck, *Genimula (Unedogemmula) contigua* (Brocchi), *Nassa (Amyclina) semistriata* Brocchi, *Strioterebrum (S.) ploiocenium* Fontannes, *Phos (P.) polygonum* (Brocchi), *Cerastoderma (C.) edule* Linne, *Anadara (A.) pectinata* (Brocchi), *Venus (Ventricoloidea) multilamella* Lamarck, *Clausinella fasciata* (Da Costa), *Tellina (Tellinella) distorta* Poli gibi cins ve türler ortamın litoral zon ve deniz suyu derinliğinin 0-150 m arasında olduğunu göstermektedir (Venzo 1943; Malatesta 1974; Gonzales Delgado 1989).

145-160. metreler arasında bulunan *Anadara (A.) diluvii* Lamarck var. *pertransversa* Sacco normal deniz suyu tuzluluğundaki (tuzluluk $\approx 30\%$) sularda, 160-165. metreler arasında saptadığımız *Nuculana (Saccella) fragilis* Chemnitz $\approx 28\%$ tuzluluktaki sularda yaşayan bir formdur (Malatesta 1974). Bu iki örneğin varlığı ortamda su tuzluluğunun 160 metreden itibaren azalarak, normal deniz suyu özelliğinden acısu özelliğindeki deniz suyuna (tuzluluk = $\approx 16.5-30$) dönüştüğünü göstermektedir.

Melanoides tuberculata destefani (Magrograssi) yanında *Turritella (Surcula) dimidiata* Brocchi, *Genimula (Unedogemmula) contigua* (Brocchi), *Spondylus (Spondylus) gaederopus* Linne, *Neverita josephina* Riss gibi örneklerin varlığı Geç Pliyosen'de subtropikal iklim şartlarının etkili olduğunu göstermektedir.

Venzo (1943) yaptığı çalışmada, Samandağ formasyonun 190-195. metrelerinde bulunan *Cerastoderma (Cerastoderma) edule* Linne'nin Tetis'de litoral zonda ve 0-30 m derinlikte yaşadığı belirtmektedir. Bu örneğin varlığı su derinliğinin giderek azalmakla olduğunu ve ortamın sağlamasına işaret etmektedir. Çökelme ortamındaki sağlamasının Piyasensiye'in üst seviyelerinde de devam ettiği 295. metrede bulunan *Ostrea (Saccoostrea) forskalii* Chemnitz'in varlığından anlaşılması makastedir. Keza aynı seviyede bulunan *Melanopsis gordivi broti* Neumayr ve *Melanoides tuberculata destefani* (Magrograssi) gibi akarsu formlarının görülmesi havzamın yükselerek son şeklini almaya başladığını ve tuzluluğun ekisini yitirerek oligohalın acısu özelliğine (tuzluluk = $\approx 0.5-3$) kavuşturduğunu belirtmektedir.

Samandağ formasyonunda saptanan fosiller incelenliğinde iki farklı fauna içeriği görülmektedir. Formasyonun ilk fosilli seviyesinden (145. m) itibaren görülen Naticidae, Turridae, Turritellidae, Pectinidae, Ostreidae ve Dentaliidae gibi familyalara ait cinslerin çok sayıda bulunması, bölgenin Tetis provensi içerisinde ve denizel özellikte olduğu, formasyonun üst seviyelerinde gö-

Dianthus (D.) pumilum (Brocchi)	PORTEKİZ
Bittern (B.) reticulatum (Da Costa)	İSPANYA
Cerithium (P.) Juncum Petisch	DANİMARKA
Cerithium (P.) crenatum var. subangustifolium	HOLLANDA
Cerithium (P.) variabile (Bronn)	BELÇİKA
Cerithropsis (C.) tuberculatus (Nees) Nees	FAS
Heteropappus goetzei Walt. Nees	FRANSA
Melampodium tenuifolium (Desv.) Nees	AKİTAN HAVZASI
Turritis (T.) subcordata Brocchi	RHON HAVZASI
AJU AJU	VİYANA HAVZASI
Nicotia impunctata Lombeck	İTALYA
Neveria jessopiana Rizzo	PIEMONTE HAVZ.
Müren (M.) brodiae Torreyanus Lombeck	LİGURA HAVZASI
Müren (M.) tessellata (Griseb.)	SİCİLYA
Müren (M.) tessellata (Griseb.)	SARDUNYA
Müren (M.) tessellata (Griseb.)	MALTA
Müren (M.) tessellata (Griseb.)	ALMANYA
Müren (M.) tessellata (Griseb.)	DOĞU PRENELER
Müren (M.) tessellata (Griseb.)	TRANSİLVANYA
Müren (M.) tessellata (Griseb.)	POLONYA
Müren (M.) tessellata (Griseb.)	MACARİSTAN
Müren (M.) tessellata (Griseb.)	ÇEKOSLAVAKYA
Müren (M.) tessellata (Griseb.)	ROMANYA
Müren (M.) tessellata (Griseb.)	BULGARİSTAN
Müren (M.) tessellata (Griseb.)	YUNANİSTAN
Müren (M.) tessellata (Griseb.)	KUZEY AFRİKA
Müren (M.) tessellata (Griseb.)	CEZAYİR
Müren (M.) tessellata (Griseb.)	SURIYE
Müren (M.) tessellata (Griseb.)	LÜBNAN
Müren (M.) tessellata (Griseb.)	MISIR
Müren (M.) tessellata (Griseb.)	TUNUS
Müren (M.) tessellata (Griseb.)	EGE ADALARI
Müren (M.) tessellata (Griseb.)	KİBRİS
Müren (M.) tessellata (Griseb.)	RODOS
Müren (M.) tessellata (Griseb.)	DADÇA
Müren (M.) tessellata (Griseb.)	KARAMAN
Müren (M.) tessellata (Griseb.)	ADANA
Müren (M.) tessellata (Griseb.)	ANTAKYA
Amictella sensitiva (Brocchi)	PI
Phox (P.) polygonum (Brocchi)	PI
Phox (P.) polygonum (Brocchi)	PI
Olivancillaria (A.) acuminata Lombecki	PI
Venularia (V.) pectinatum (Brocchi)	PI
Baphia (B.) capreolata (Brocchi)	PI
Gennaria (G.) rotata (Brocchi)	PI
Gemmula (G.) apicula (Brocchi)	PI
Corus (C.) spicata (Brocchi)	PI
Corus (C.) spicata (Brocchi)	PI
Sphaeralcea (S.) phaeocaulon Fenzl	PI
Sphaeralcea (S.) phaeocaulon Fenzl	PI
Leptosiphon (L.) dumosus var. perigrinus (Soc.)	PI

Çizelge 3a. Samandağ formasyonunda saptanın örneklerin paleoçoografik ve stratigrafik yayılımı.
Table 3a. *Paleogeographic and stratigraphic distribution of the fossils of Samandağ formation.*

SAMANDAĞ - FORMASYONU

Ranunculus Regnaultii subsp. <i>Bocconi</i>	D-T	A-U	A-U-A-U-J	T	P	T-P	T-P	T	P	T	P	O-T-P	O-P-D
Dentaria <i>lola</i> <i>verrucosa</i> Schleier	-	P	-	-	T-R	-	P	T	P	T-P	T-P	-	-
Dentaria dentata <i>lola</i> Schleier	-	-	-	-	-	-	-	-	-	-	-	P	-
Fistularia cf. <i>strumosa</i> Caprotti	-	-	-	-	-	-	-	T	T-P	T-P	T-P	-	-
Eriogonum <i>telatopodum</i> (Brockmann)	-	-	-	-	-	-	-	T-P	-	-	-	-	-
Cuspidaria rostrata Spengel	-	-	-	-	-	-	-	T	-	-	-	-	-
Nicotiana S. <i>fragillis</i> (Chamomel)	D-T	P	-	-	P	-	O	O-P	-	P	-	-	-
Yoldia <i>Vi</i> nitida (Brocch)	-	-	-	-	P	-	-	-	T-P	T-P	T-Z	-	-
Hedysarum <i>inflatum</i> Linné	-	P	-	-	P	-	-	-	T-P	T-P	-	-	-
Stipa <i>laetula</i> (Linné)	P	T	-	-	P	P	A-U	-	P	P	-	-	-
Anemone <i>la.</i> <i>eximia</i> (Brockmann)	P	-	-	-	P	-	-	-	A-P	-	-	A-U	-
Artemisia <i>fa</i> <i>dubium</i> var. <i>pertransversa</i> Sacc.	-	-	-	-	-	-	T	T-P	T-P	T-P	-	-	-
Gymnemusis (G) <i>gymnemusis</i> Linnaeus	P	P	-	-	V-P	A	-	A-U	-	-	-	-	-
Spongipus ISJ <i>pedunculatus</i> Linne	-	P	-	-	O	-	-	P	P	-	-	-	-
Amiantum <i>eristatum</i> (Burm)	A-O	-	-	-	O	-	-	A-C-A	C-P-C	-	O	-	O
Anemone cf. <i>ephippium</i> Linné	O	P	-	-	P	V-P	-	O	P-H-C	-	O	P	P
Dolice (S) <i>tereskiae</i> Chemnitz	T	-	-	-	T	-	-	D-P	O	P	P	-	-
Aconitum heterophyllum <i>rhizanthum</i> (Linné)	-	-	-	-	P	-	-	P	P	-	-	-	-
Symphytum <i>gratianopolitanum</i> var. <i>modestum</i> (Nees) <i>Edwards</i> Endl.	-	-	-	-	P	-	-	P	P	-	-	-	-
Ceratostigma (C) <i>edule</i> Linné	-	-	-	-	A-U	A-U	-	-	A-P	A-P	-	-	-
Chama <i>ca</i> <i>graphodes</i> Linné	-	-	-	-	P	-	-	P	P	-	-	O-T	-
Lucena <i>L</i> <i>orbicularis</i> Deshayes	T	T	-	-	P	O-U	-	-	P	P	-	P	-
Lucena <i>P</i> <i>mitchellii</i> (Presl)	-	-	-	-	O	-	-	O	O	-	-	P	-
Helina <i>leptostylis</i> Gmelin	P	T	-	-	P	-	-	O-P	O-P	P	-	P	-
Cicuta virosa <i>fasciculata</i> (L.) Cossat	T	A-U	P	-	P	P	P	P	T-P	T-P	T-P	P	P
Venus <i>verticillata</i> (L.) Maxm	A-U	-	-	-	A-U	P	A-U	T-P	T-P	T-P	T-P	P	P
Thlaspi <i>ellipticum</i> Presl	C-U	-	C-U	-	O-U	O-U	O-U	O-U	O-U	O-U	O-U	O	P
Cotula glauca <i>bipunctata</i> (Gibbs) Quivi	-	-	-	-	O-T	O-P	O-P	-	T-P	T-P	T-P	P	P

Çizelge 3b. Samandağ formasyonunda saptanarı örneklerin paleocoğrafik ve stratigrafik yayılımı.

Table 3b. Paleogeographic and stratigraphic distribution of the fossils of Samandağ formation.

Seri/Serke Kati/Stag Formasyon/Formatio Katkı/Thickness [m] Ornek no/ Sample no	AÇIKLAMALAR EXPLANATIONS	
	Lito loji-Lithology Lithology	Paleontoloji-Paleontology
	Akvaryon, traverten Gypsum	
	Kohesiş sari renkli, ince-orta tabakeli, gevşek cimentolu kumtaşı	İnvertörler (şereftanlı kırık) Akçan (TA) ripholian kırık Dolma (Çökütleme) pişmiş (Brochit) Melenzitik gorsenler (şerit) Krematitit tüberkülatlı sileşeler (Meyrgasse)
	brownish yellow thin-medium bedded, loose cemented sandstone	Coralia (V) çiçek (Coral) Dolomit (Marmarasi dolom) Lodra (Prokotol) nörolojik (Mayez) Meyez (F) karstitik Brochit Lekse (Ş) çapılı Brochit Şebek (Ş) çapılı çapılıcık (Şebek) Öreto (Ş) fosfatlı (Öreto) Açılıkçı (Ş) çapılıcık (Şebek) Geyik (Ş) çapılıcık (Şebek) Geyik (Ş) çapılıcık (Şebek) Halka (Ş) çapılıcık (Şebek) Rengülü (Ş) sümük (Şebek) Almecum (Ş) çapılıcık (Şebek) Ağzılı (Ş) çapılıcık (Şebek) Dolomit (D) keşençlikli Schistler Dolomit (A) İncili Schistler
300-22 21 20 19 18 17 16 15 14 13 11 10 9 8 7 6 5 4 3 2 1 0	yeşilimsi kılı kireçlesi ve boz renkli kumtaşı alternansı greenish, clayey limestone and beige coloured sandstone alternations	
	ince kılı kumtaşı, kılıkta mor- tabakalarla zeren, yeşil boz renkli, gevşek cimentolu kumtaşı thin bedded clayey sandstone and claystones interbedded with green beige coloured, loose cemented sandstone	
	serin, fermatma kabartaklı, gevşek, kılıkta mor tabakalar çiftleşmiş, boz, gevşek çiftleşmiş sandstone yapılmış gips, gipsum	

Şekil 4. Samandağ Formasyonuna ait genelleştirilmiş dikme kesit.

Figure 4. Generalized columnar section of the Samandağ formation.

rüler Melanidae familyasına ait cinslerin varlığı ise üst seviyelerde denizel özelliklerin kaybolduğuuna işaret etmektedir.

SONUÇLAR

Antakya Havzası'nda geniş yüzleklər sunan Samandağ formasyonunda, Molluska faunası üzerinde yapılan paleontolojik çalışmalarla göre aşağıdaki sonuçlar çıkmıştır:

1. Samandağ formasyonunda 5 adet ölçülu stratigrafi kesiti alınmış, bu kesitlerden derlenen numunelerden molluska dalına bağlı; Gastropoda sınıfına ait 22 cins ve 29 tür, Scaphopoda sınıfına ait 3 cins ve 4 tür ve Bivalvia sınıfına ait 21 cins ve 24 tür tespit edilmiştir.

2. Saptanan faunanın paleocoografik yayılımları incelendiğinde, Tetis bölgesine bağlı olarak geliştiği belirlenmiştir.

3. Samandağ formasyonunun alt seviyelerinde denizel, üst seviyelerinde ise akarsu formları saptanmıştır. Bu formlara göre ortamda bulunan suyun, formasyonun alt seviyelerinden üst seviyelerine doğru çıkışlıca normal deniz suyu karakterinden oligohalın açısından karakterine dönüştüğü belirlenmiştir.

4. Molluska faunası dikkate alınarak bölgедe Piyasensiyen döneminde subtropikal iklim şartlarının etkili olduğu tespit edilmiştir.

KATKI BELİRTME

Bu çalışma A.Ü. Araştırma Fonu'nun maddi desteği ile (90 25 00 38 no'lü proje) gerçekleştirilmiştir. Yazarlar arazi çalışmaları sırasında Rezzan Büyükoğlu'ya, örnek fotoğraflarının çekiminde Dr. Ortwin Schultz (Viyana Doğa Tarihi Müzesi)'a ve çizimlerde Gürsel Karakuş'a yardımlarından dolayı aynı ayrı teşekkür ederler.

DEĞİNİLEN BELGELER

Aktürk,A.. 1975, Yayıldağı (Hatay) bölgesi fosfat ya-
taqlarının detay etlid raporu: MTA Enst.Rap.No:
5635, (Yayınlanmamış), Ankara.

Altınlı,E. I.,1978, Amanos Dağları ve Anadolu'nun lev-
ba tektoniği ile ilişkileri: Türkiye 4. Petrol Kongresi,
Bildiriler ve Açıklarum, 51-62, Ankara.

Aslaner, M., 1973, İskenderun ve Kırıkkale bölgelerindeki ol-
yolitlerin jeolojisi ve petrografisi: MTA Yayın
No:150, Ankara.

Atan, O. R., 1969, Eğribucak - Karacaören (Hassa)-
Ceylanlı-Dazevleri (Kırıkkale) arasındaki Amanos
Dağları'nın jeolojisi: MTA yayın No: 139, Ankara.

Bellardi,L., 1882 - 1988, I Molluschi de terreni Terziario del
Piemonte e della Liguria: C:II-III. Gasteropoda, C:V,
Mitridae.

Bellardi,L. ve Sacco, F., 1890, I Molluschi dei terreni
Terziarii del Piemonte e della Ligura C:VI, Torino.

Böger,H. ve Wilmann, R., 1979, Verbreitung einiger
limnischer Gastropoden im Miozan des Agais Rau-
mes, Ann. Geol.Pays Hellen, Hors seri, Fascicule: I.
163-166, Atina.

Brocchi, G., 1814, Conchologia fossile Subapennina:
241-712, 1843, Milano.

Caprotti, E., 1972, Mesogastropoda della Stratotipo Pia-
cenziano (Castell'Aquato, Piacenza): Natura-Riv.
Sc.Nat.,LXI, II, 121-187, Milano.

Caprotti, E. ve Vescovi, M., 1973, Neogastropoda ed
Euthyneura della Stratotipo Psacenziano (Cas-
tell'Arquato, Piacenza): Natura-Riv. Sc. Nat. Acqua-
rio Civ. 64, II, 156-193, Milano.

Cerulli-Irelli, 1907 - 1908, Fauna Malacologica mariana:
Palaeont. Italicæ, XIII, XI, Italya.

Coğulu, H.E., 1973, Hatay-Kızıldağ Masifinin oluşumu huk-
kında yeni buluslar: Cumhuriyetin 50. Yıl Yerbi-
limleri Kongresi, 409-421, Ankara.

SAMANDAĞ - FORMASYONU

- Deshayes, G.P ve Pl. Dautzenberg, 1902-1920, Conchyliologie du Miocene moyen du bassin de la Loire: Mem.Soc.Geo.France., Palaeont., X, 2,3;XI, 3,4; XIV, 1; XVI, 2; XXII, 2,3 ve 4.
- Dollfus, G.F. ve Cotter, 1909, Mollusques Tertiaires du Portugal (Plaisancien).I-Pelecypoda, Comm.Serv. Geo.Portugal, Lisbon.
- Doruk, N., 1973, Adana ve Antakya Havzaları Neojen ve Kovaşerner Ostracod mikrofaunası ve biyostratigrafisi: Cumhuriyetin 50. Yılı Yerbilimleri Kongresi, Tebliğler, 143-150, Ankara.
- Erünl-Erenöz, L., 1956, Stratigraphie des Bassins néogenes de Turquie, plus spécialement d'Anatolie méridionale et comparaisons avec le Domaine Méditerranéen dans son ensemble. MTA Yayımları Seri: c, No:3, Ankara.
- Erünl-Erenöz, L., 1958, Mollusques du Néogène des Bassins de Karaman, Adana et Hatay (Turquie): Doktora Tezi, 232s., 36 levha, Ankara.
- Fontannes, F., 1879 - 82, Mollusques Pliocènes de la Vallée du Rhône et du Roussillon, I-Gastéropodes, Des Formations marines et Saumâtres: 276 s., II-Acéphales, Des Formations Marines et Saumâtres: 291p., Paris.
- Gignoux, M., 1913, Les Formations marines Pliocènes et Quaternaires de l'Italie du Sud et de la Sicile: (These), Lyon.
- Glibert, M., 1945, Faune Malacologique du Miocene de la Belgique, I-Pelecypodes: Mem.Mus.r.Hist.nat., Belgique, No:103, 263p., 12, Brüksel.
- Glibert, M., 1952, Faune Malacologique du Miocene de la Belgique, II-Gastropodes: Mem.Mus.Hist.nat. Belgique, 197p., 10 Lev., Brüksel.
- Gonzales Delgado, J.A., 1986, Estudio sistemático de las Gasteropodes del Plioceno de Huelva (SW de España). II-Mesogastropoda (Rissooidea, Cerithiaceo): Stud.Geo.Salmant., XXIII, 61-120, Salamanca.
- Hörnes, M., 1851, Die Fossilen Mollusken des Tertiär-Beckens von Wien: Herausgegeben d.k.-k.Geol.Reichsanstalt, No:1, Conus, 736p, Wien.
- Hörnes,M., 1956, Die Fossilen Mollusken de Tertiär-Beckens von Wien: Atlas, 52 Table.
- Karacabey-Öztemur, N. ve Selçuk, H., 1980 - 81, Hatay bölgelerinden derlenen Rudistlere ait bir yeni cins ve 2 yeni tür: MTA Derg. 95/96, 40-149, Ankara.
- Lamarck, 1914, Catalogue illustré de la collection Lamarck: Museum de Geneve.
- Malatesta, A., 1960-63, Malacofauna Pliocenica Umbra: Mem. Serv. Desc.Carta Geol.Italia, XII, 1-2, Rome.
- Malatesta, A., 1974, Malacofauna Pliocenica Umbra, Mem. Serv. Desc. Carta Geol. Italia, XIII, 498p., XXXII PL.,Rome.
- Moore, R. C., 1960, Treatise on Invertebrate Paleontology: Part-I Mollusca 1, 351p.
- Moore, R. C., 1969, Treatise on invertebrate Paleontology,Part-N, 1,2,3, Mollusca 6 Bivalvia.
- Neumayr, 1880, Über den geologischen Bau der Insel-Kos: Denkschr.Kais.Ak.wiss., 40, 213-314, wien.
- Papp, A. ve Thenius, E., 1959, Tertiär, Grundzüge regionaler Stratigraphie: I-II, Stuttgart.
- Pelosio, G., 1966, La malacofauna della stratotipo del Tabianiano (Pliocene inferiore) di Tabiano Bagni (Parma):Boll.Soc. Paleont.Ital., 5, 2, 101-183, Pl.35-47.
- Regional committee on Mediterranean Neogene Stratigraphy Report on Activity of the R.C.M.N.S. working Groups (1971-1975), Bratislava.
- Rögl, F ve Steininger, F., 1983, Vom Zerfall der Tethys zur Meditarran und Paratethys, 143-163, 14 Pl., wien.
- Sacco, V.D.F., 1884-1901, I Molluschi dei Terreni Tertiari del Piemonte e della Liguria: IV, VI, XIX, XX, XXVIII, XXIX,XXV, Torino.
- Selçuk, H. ve diğ., 1985, Kızıldağ-Keldağ-Hatay dolayının jeolojisi ve jeodinamik evrimi: MTA Rap.No:7787, (Yayınlanmamış), Ankara.
- Sieber, R., 1937, Die Miozänen Potamididae, Cerithiidae Cerithiopsidae und Triporidae Niederösterreichs, Festchrift für Prof.Dr.Einbrick Strand: II,473-520.
- Stchepinsky, V., 1946, Türkiye karakteristik fosilleri: MTA Yayın No:1, Ankara.
- Taner, G., 1981, Gelibolu yarımadasının denizel Kuvarterler Molluskaları, Jeomorfoloji Dergisi, 10, 71-115, Ankara.
- Tekeli, O. ve Erendil, M., 1986, Kızıldağ ofiyolitinin (Hatay) jeoloji ve petrolojisi: M.T.A. Dergisi 107, 33-48, Ankara.
- Toker, V ve Yıldız, A., 1991, Hatay yöresi Nannoplankton biyostratigrafisi, Ahmet Acar Jeoloji Sempozumu, 199-211, Adana.

- Venzo, S. ve Guaitati, F., 1943, Nuovo giacimento del Pliocene superiore a Torre dei Roveri, nelle Prealpi Bergamasche: Riv. Italiana Paleont.
- Wenz, W., 1929, Fossilium Catalogus,I-Animalia, Gastropoda,extramarina Tertiaire, Berlin.
- Wenz, W., 1938-44, Handbuch der Palaozoologie, 6, Gastropoda: Böllüm:I, Berlin.
- Wenz, W. ve Zilch, A., 1959-60, Handburch der Palao zoologie, 6, Gastropoda,II-Euthyneura, 834.
- Willmann, R., 1977, Biostratigraphie mit limnischen Mollusken am Beispiel des Neogens von Kos (Griechenland): Meyniana, 29,71-79, Kiel.
- Willmann, R., 1978, Die Formenreichen der pliozinen Süßwassergastropoden von Kos (Agais) und ihre Erforschungsgeschichte: Natur, u. Museum, 103, 230-237, Frankfurt.
- Willmann, R., 1980, Die Alterstellung kontinentaler Neogenablagerungen in der südöstlichen Agais (Rhodos und Kos/Dodekanes, Dadça/ Südwestanatolian: Newsl.Strat., 9, 1-18, Stuttgart.
- Willmann, R., 1981, Evolution, Systematik und stratigraphische Bedeutung der Neogenen Süßwasser gastropoden von Rhodos und Kos/Agais: Paleontographica Abt., A-Palaozoologie-Stratigraphie, 174,10-235, Stuttgart.

LEVHA 1

Şekil 1a-b. *Dilonia (Oxystele) patulum* (Brocchi), x2.

Şekil 2a-b. *Bittium (B.) reticulatum* (Da Costa), x4.

Şekil 3a-b. *Cerithium (P.) bronni* Patsch, x3.

Şekil 4a-b. *Cerithium (T.) crenatum* var. *subcrenato-coronata* Sacco, x2.

Şekil 5a-b. *Cerithium (T.) varicosum* (Brocchi), x1.5.

Şekil 6a-b. *Cerithiopsis (C.) tubercularis* (Montagu), x3.

Şekil 7a-b. *Melanopsis gorciexi broti* Neumayr, x3.

Şekil 8a-b. *Melanoides tuberculata destefanii* (Magrograssi), x3.

Şekil 9a-b. *Turritella (Z.) subangulata* (Brocchi), x1.5.

PLATE I

Figure 1a-b. *Dilonia (Oxystele) patulum* (Brocchi), x2.

Figure 2a-b. *Bittium (B.) reticulatum* (Da Costa), x4.

Figure 3a-b. *Cerithium (P.) bronni* Patsch, x3.

Figure 4a,b. *Cerithium (T.) crenatum* var. *subcrenato-coronata* Sacco, x2.

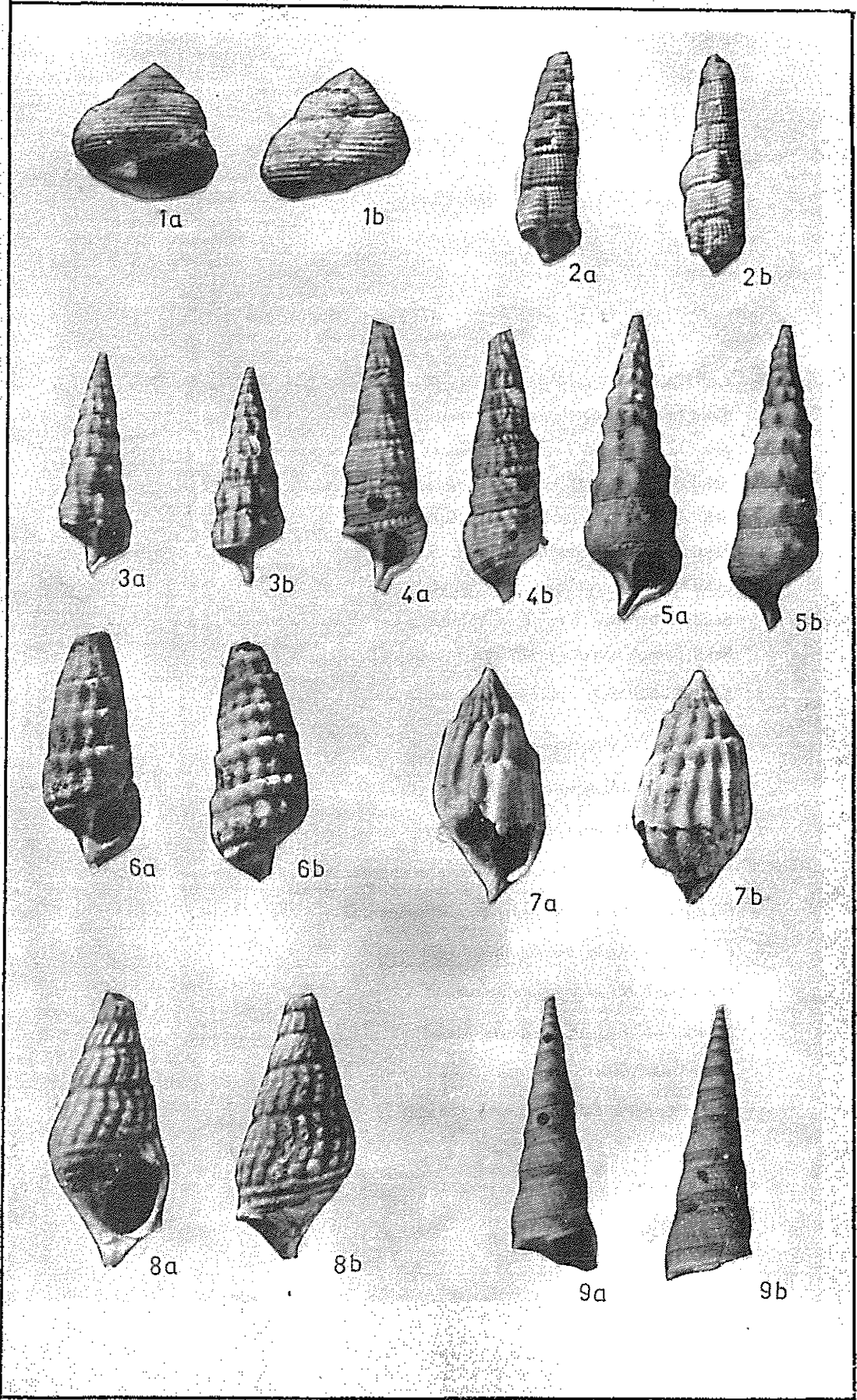
Figure 5a-b. *Cerithium (T.) varicosum* (Brocchi), x1.5.

Figure 6a-b. *Cerithiopsis (C.) tubercularis* (Montagu), x3.

Figure 7a-b. *Melanopsis gorciexi broti* Neumayr, x3.

Figure 8a-b. *Melanoides tuberculata destefanii* (Magrograssi), x3.

Figure 9a-b. *Turritella (Z.) subangulata* (Brocchi), x1.5



LEVHA II

Şekil 1a-d. *Natica milipunctata* Lamarck, x1.

Şekil 2a-b. *Neverita josephinia* Risso, x1.

Şekil 3a-b. *Murex (B.) brandis tortularius* Lamarck, x1.

Şekil 4a-d. *Mitrella (M.) nassoides* (Grateloup), x2.

Şekil 5a-b. *Nassa concinna* Bellardi, x3.

Şekil 6a-b. *Nassa obliquata* Bracchi, x4.

Şekil 7a-b. *Nassa cf. incrassata* (Müller), x4.

Şekil 8a-b. *Nassa (A.) semistriata* (Bracchi), x2.

Şekil 9a-b. *Phos (P.) polygonum* (Bracchi), x2.

PLATE II

Figure 1a-d. *Natica milipunctata* Lamarck, x1.

Figure 2a-b. *Neverita josplinia* Risso, x1.

Figure 3a-c. *Murex (B.) brandis tortularius* Lamarck, x1.

Figure 4a-d. *Mitrella (M.) nassoides* (Grateloup), x2.

Figure 5a-b. *Nassa concinna* Belardi, x3.

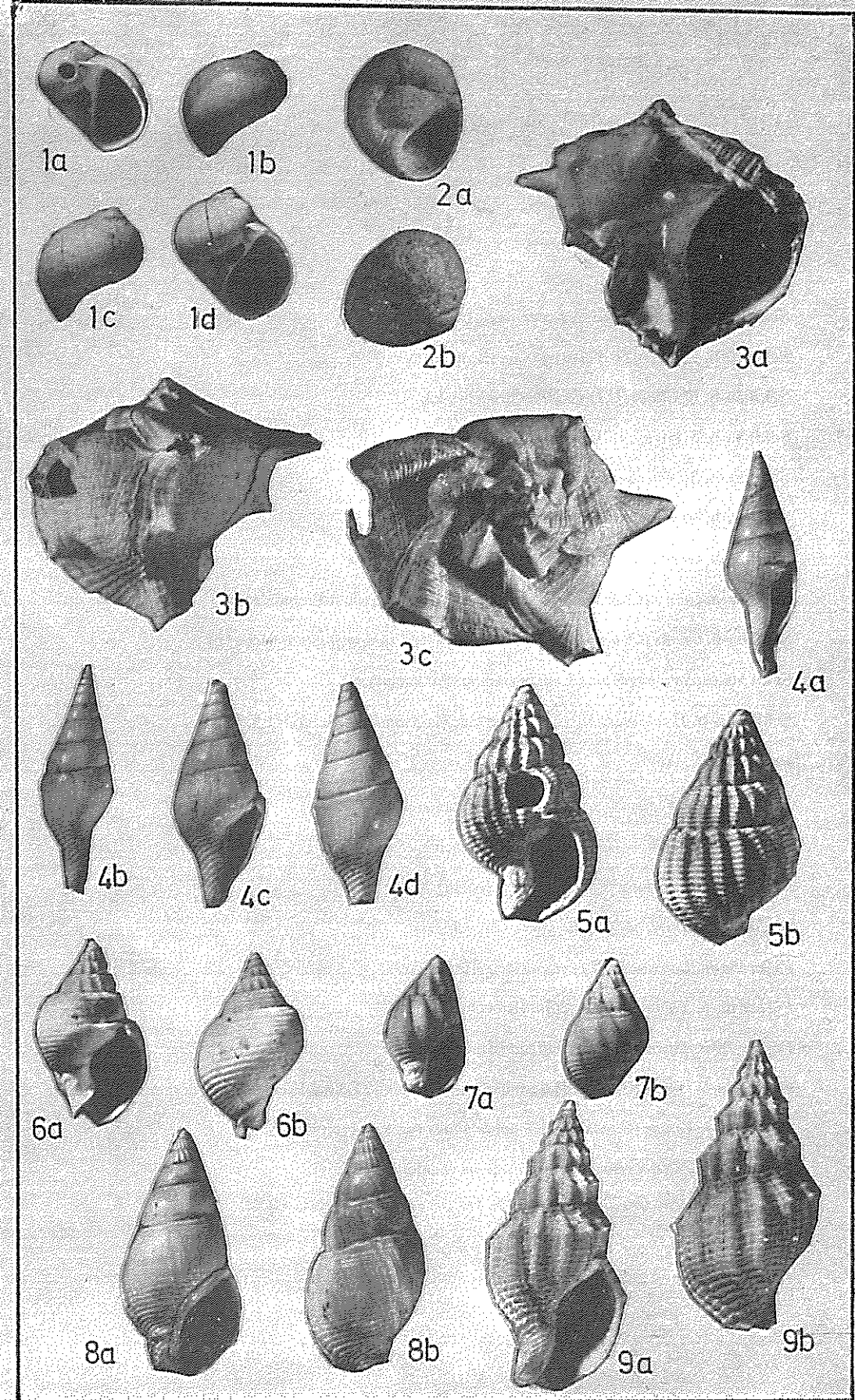
Figure 6a-b. *Nassa obliquata* Bracchi, x4.

Figure 7a-b. *Nassa cf. incrassata* (Müller), x4.

Figure 8a-b. *Nassa (A.) semistriata* (Bracchi), x2.

Figure 9a-b. *Phos (P.) polygonum* (Bracchi), x2.

PLATE II - LEVHA II



LEVHA III

Şekil 1a-b. *Olivancillaria (A.) acuminata* Lamarck, x4.

Şekil 2a-b. *Vexillum (U.) cupressinum* (Brocchi), x3.

Şekil 3a-b. *Vexillum (U.) plicatula* (Brocchi), x3.

Şekil 4a-b. *Turridula (S.) dimidiata* (Brocchi), xl.

Şekil 5a-b. *Bathyomia (B.) cataphracta* (Brocchi), xl.

Şekil 6a-b. *Gemmula (G.) rotata* (Brocchi), xl.5.

Şekil 7a-b. *Gemmula (U.) contigua* (Brocchi), x2.

Şekil 8a-b. *Conus (Chelyconus) pyrula* var. *micronata* Erünal-Erentöz, xl.

Şekil 9a-b. *Conus (Conospirus) antediluvianus* var. *subagranulata* Sacco, xl.

Şekil 10a-b. *Strioterebrum (S.) plioenicum* (Fontannes), x3.

Şekil 11a-b. *Terebra acuminata* Borson var. *pergranularis* Sacco, xl.5.

PLATE III

Figure 1a-b. *Olivancillaria (A.) acuminata* Lamarck, x4.

Figure 2a-b. *Vexillum (U.) cupressinum* (Brocchi), x3.

Figure 3a-b. *Vexillum (U.) plicatula* (Brocchi), x3.

Figure 4a-b. *Turridula (S.) dimidiata* (Brocchi), xl.

Figure 5a-b. *Bathyomia (B.) cataphracta* (Brocchi), xl.

Figure 6a-b. *Gemmula (G.) rotata* (Brocchi), xl.5.

Figure 7a-b. *Gemmula (U.) contigua* (Brocchi), x2.

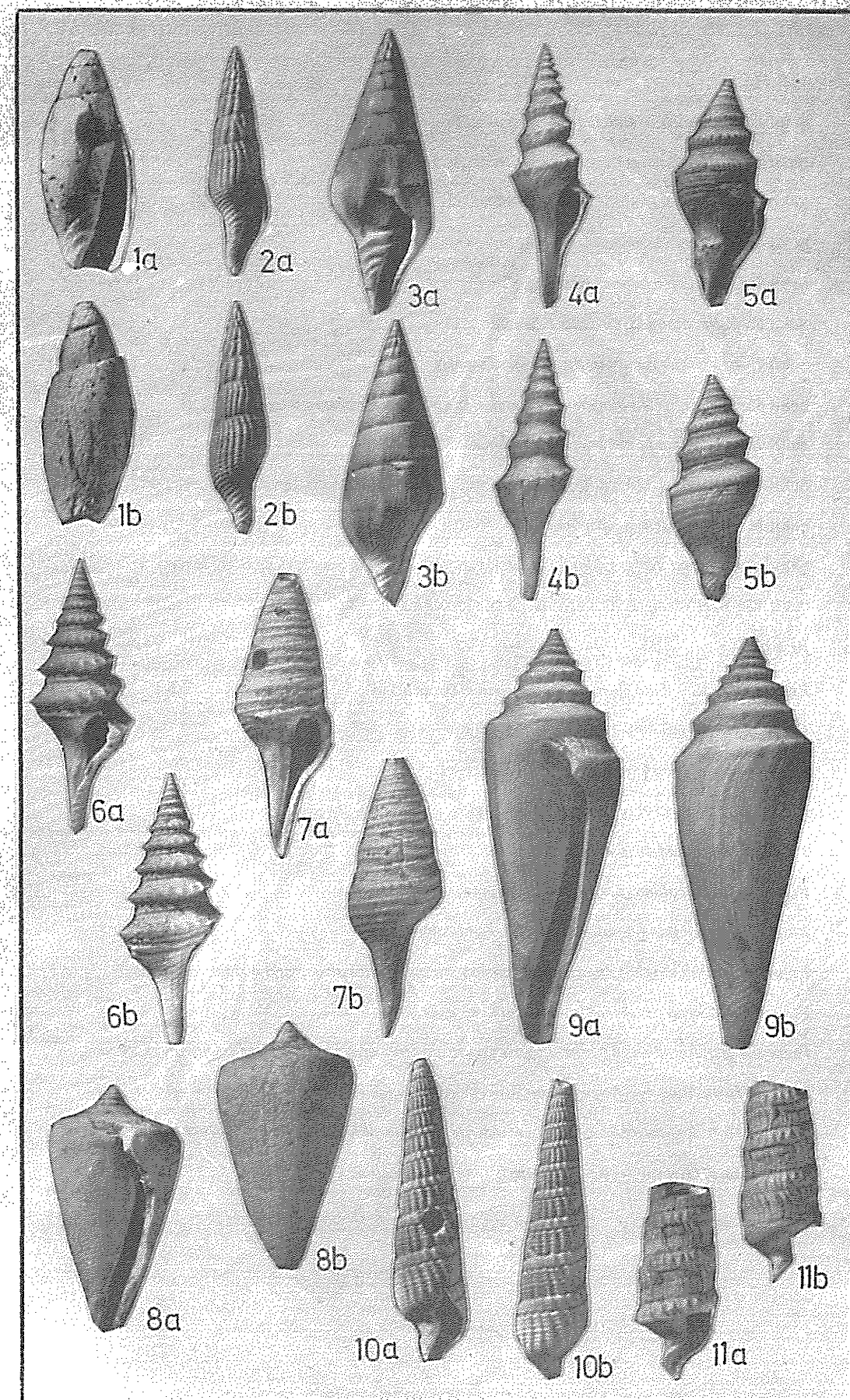
Figure 8a-b. *Conus (Chelyconus) pyrula* var. *micronata* Erünal-Erentöz, xl.

Figure 9a-b. *Conus (Conospirus) antediluvianus* var. *subagranulata* Sacco, xl.

Figure 10a-b. *Strioterebrum (S.) plioenicum* (Fontannes), x3.

Figure 11a-b. *Terebra acuminata* Borson var. *pergranularis* Sacco, xl.5.

PLATE III - LEVHA III



LEVHA IV

Şekil 1a-b. *Ringicula (Ringiculina) buccinea* Brocchi, x4.

Şekil 2a-c. *Dentalium (D.) sexangulum* Schröter, x1.

Şekil 3. *Dentalium (Antalis) fossile* Schröter, x1.

Şekil 4. *Fustriaria cf. emersoni* Caprotti, x3.

Şekil 5. *Entalina tetragona* (Brocchi), x3.

Şekil 6a-c. *Nuculana (S.) fragilis* (Chamnitz), x5.

Şekil 7a-b. *Yoldia (Y.) nitida* (Brocchi), sağ kapak x4.

Şekil 8a-d. *Nucula (N.) placentina* Lamarck, (a ve b sol kapak, c ve d sağ kapak), x3.

Şekil 9a-b. *Striarca lactea* (Linne), sağ kapak, x3.

Şekil 10a-c. *Anadara (A.) diluvii* Lamarck var. *pertransversa* Sacco, (a ve b sol kapak), x1.

Şekil 11a-b. *Anadara (A.) pectinata* Brocchi, sağ kapak, x4.

Şekil 12a-b. *Anadara (A.) diluvii* Lamarck var. *pertransversa* Sacco, (a ve b sağ kapak), x1.

Şekil 13a-b. *Glycymeris (G.) glycymeris* Linne, sağ kapak, x3.

PLATE IV

Figure 1a-b. *Ringicula (Ringiculina) buccinea* Brocchi, x4.

Figure 2a-c. *Dentalium (D.) sexangulum* Schröter, x1.

Figure 3. *Dentalium (Antalis) fossile* Schröter, x1.

Figure 4. *Fustriaria cf. emersoni* Caprotti, x3.

Figure 5. *Entalina tetragona* (Brocchi), x3.

Figure 6a-b. *Nuculana (S.) fragilis* (Chamnitz), x5.

Figure 7a-b. *Yoldia (Y.) nitida* (Brocchi), right valve, x4.

Figure 8a-d. *Nucula (N.) placentina* Lamarck, (a and b left valve, c and d right valve), x3.

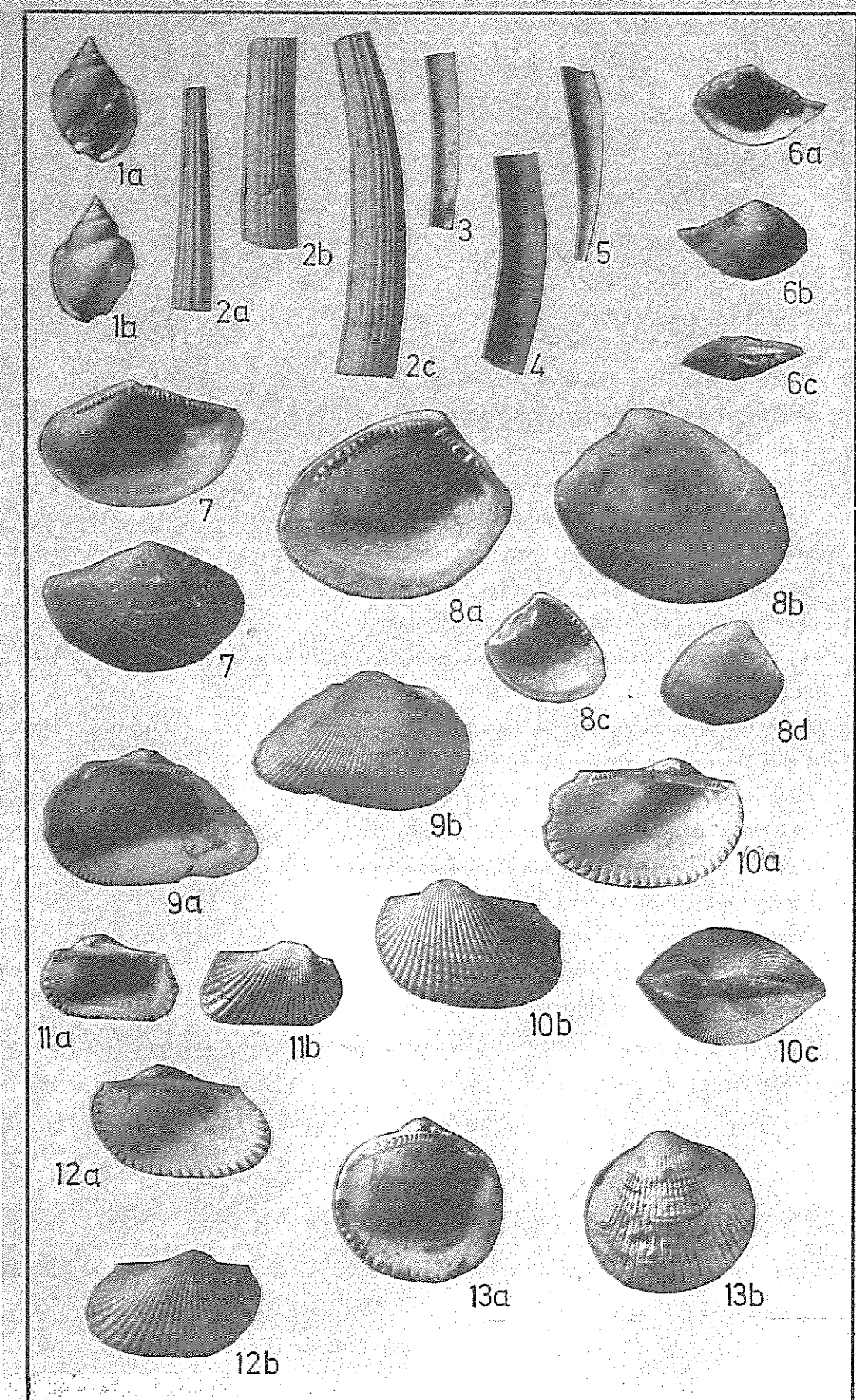
Figure 9a-b. *Striarca lactea* (Linne), right valve, x3.

Figure 10a-b. *Anadara (A.) diluvii* Lamarck var. *portranversa* Sacco, (a and b left valve), x1.

Figure 11a-b. *Anadara (A.) pectinata* Brocchi, right kapak, x4.

Figure 12a-b. *Anadara (A.) diluvii* Lamarck var. *pertranversa* Sacco, (a and b right kapak), x1.

Figure 13a-b. *Glycymeris (G.) glycymeris* Linne, right kapak, x3.



LEVHA V

Şekil 1a-b. *Spondylus (S.) gaederopus* Linne, sol kapak, x1.

Şekil 2a. *Anisium cristatum* (Bronn), sağ kapak, x1.

Şekil 3a-b. *Anomia cf. ephippium* Linne, sol kapak, x2.

Şekil 4a-b. *Ostrea (S.) forskallii* chemnitz, sağ kapak, x1.

Şekil 5a-b. *Lucina (L.) orbicularis* Deshayes, sağ kapak, x3.

Şekil 6a-b. *Lucina (P.) michelotti* Mayer, sağ kapak, x2.

Şekil 7a-b. *Chama (C.) placentina* (Defrance), sol kapak, x1.

Şekil 8a-b. *Chama (C.) gryphoides* Linne, sağ kapak, x2.

Şekil 9a-b. *Acanthocardia (A.) echinatum* (Linne), sol kapak, x3.

Şekil 10a-b. *Lymnocardium gracile* (Pusch) var. *mediterranea* Erünał-Erentöz, sağ kapak, x3.

PLATE V

Figure 1a-b. *Spondylus (S.) gaederopus* Linne, left valve, x1.

Figure 2a-b. *anisium cristatum* (Bronn), right valve, x1.

Figure 3a-b. *Anomia cf. ephippium* Linne, left valve, x2.

Figure 4a-b. *Ostrea (S.) forskallii* Chemnitz, right valve, x1.

Figure 5a-b. *Lucina (L.) orbicularis* Deshayes, rights valve, x3.

Figure 6a-b. *Lucina (P.) michelotti* Mayer, right valve, x2.

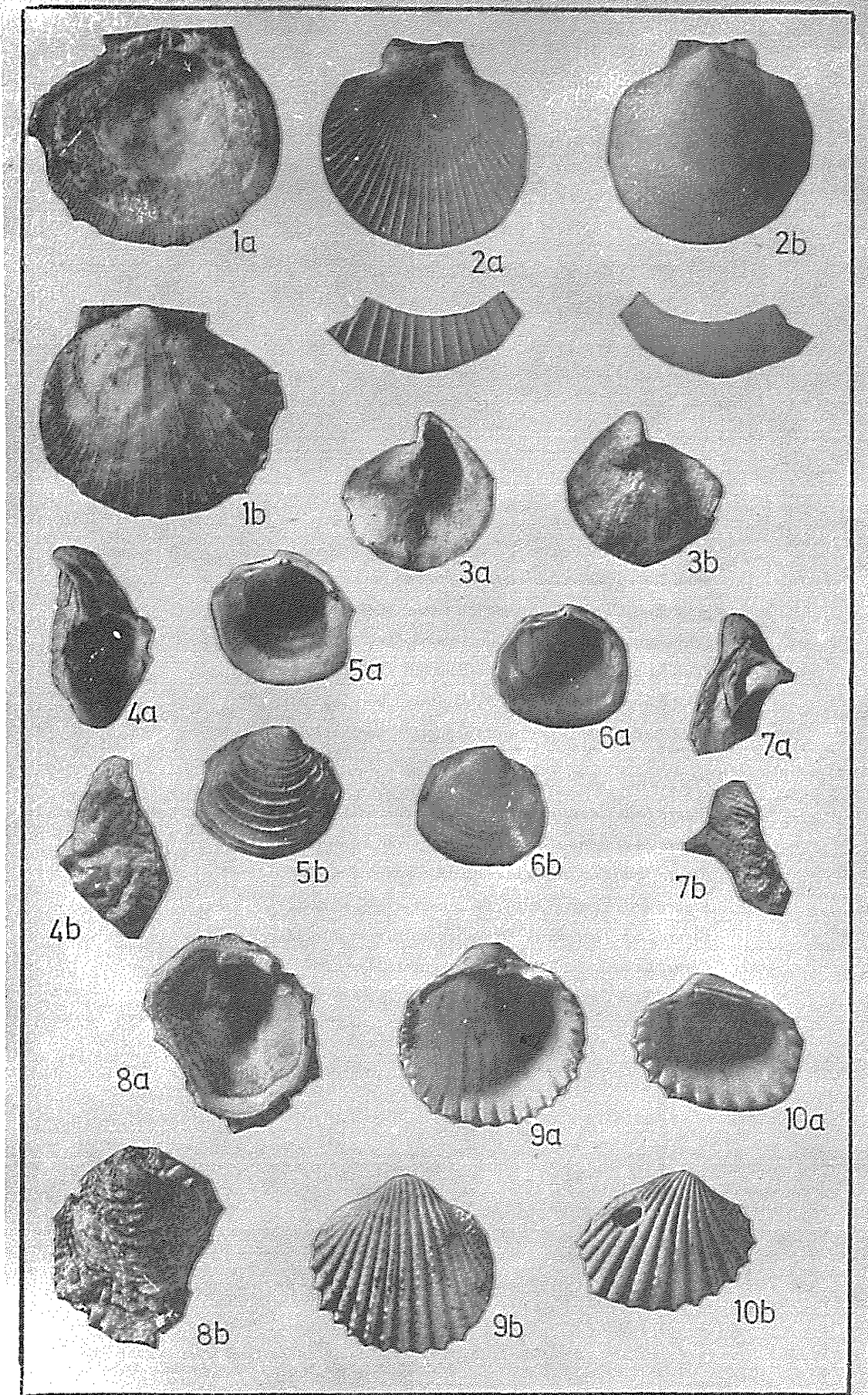
Figure 7a-b. *Chama (C.) placentina* (Defrance), left valve, x1.

Figure 8a-b. *Chama (C.) gryphoides* Linne, right valve, x2.

Figure 9a-b. *Acanthocardia (A.) echinatum* (linne), left valve, x3.

Figure 10a-b. *Lymnocardium gracile* (Pusch) var. *mediterranea* Erünał-Erentöz, right valve, x3.

PLATE V - LEVHA V



LEVHA VI

Şekil 1a-b. *Cerastoderma (C.) edule* Linne, sol kapak, x1.5.

Şekil 2a-b. *Tellina (Telinella) distorta* Poli, sol kapak, x3.

Şekil 3a-b. *Clasinella fasciata* (Da Costa), sağ kapak, x3.

Şekil 4a-b. *Venus (Ventricolidea) multimella* (Lamarck), sağ kapak, x1.5.

Şekil 5a-b. *Timoclea (T.) ovata* (Pennant), sağ kapak, x3.

Şekil 6a-b. *Corbula (Varicorbula) gibba* (Olivii), sağ kapak, x4.

Şekil 7a-b. *Cuspidaria rostrata* Sepengl, sağ kapak, x3.

PLATE VI

Figure 1a-b. *Cerastoderma (c.) edule* Linne, left valve, x1.5.

Figure 2a-b. *Tellina (Telinella) distorta* Poli, left valve, x3.

Figure 3a-b. *Clavinella fasciata* (Da Costa), right valve, x3.

Figure 4a-b. *Venus (Ventricolidea) multimella* (Lamarck), right valve, x1.5.

Figure 5a-b. *Timoclea (T.) ovata* (Pennant), right valve, x3.

Figure 6a-b. *Corbula (Varicorbula) gibba* (Olivii), right valve, x4.

Figure 7a-b. *Cuspidaria rostrata* Spengl, right valve, x3.

PLATE VI - LEVHA VI

